

В. П. КАШЛЕВ, А. Д. НИЖЕНСКИЙ, Ю. А. СКРИПНИК

(Киев)

**ИЗМЕРЕНИЕ РАЗНОСТИ ФАЗ
ДВУХ СИНУСОИДАЛЬНЫХ НАПРЯЖЕНИЙ
С ПОМОЩЬЮ КРУГОВЫХ ВРАЩАЮЩИХСЯ ФАЗОВРАЩАТЕЛЕЙ**

Компенсационный метод обеспечивает наивысшую точность измерения фазовых сдвигов, однако его потенциальные возможности не реализуются полностью из-за нелинейности градуированных фазовращателей. Так, индукционные серийно выпускаемые фазовращатели типа ИФ и ВТМ имеют погрешность не менее ± 15 — 30 угловых минут, которая к тому же гарантируется только для ограниченного числа фиксированных частот. Емкостные фазовращатели по сравнению с индуктивными могут работать в более широком диапазоне частот, однако точность их ниже, а количество выпускаемых типов значительно меньше. Дальнейшее повышение точности круговых фазовращателей как образцовых мер фазового сдвига представляется возможным за счет сложных конструктивных и технологических усовершенствований.

Чтобы градуировка кругового фазовращателя сохранялась и при переходе с одной рабочей частоты на другую, необходимо каждый раз измерять параметры фазорасщепляющих цепей, контролируя равенство и ортогональность питающих напряжений [1]. Для практических целей такой способ малопригоден и может применяться для работы в узком частотном диапазоне. Широкополосность фазоизмерительных устройств с круговыми фазовращателями чаще всего обеспечивается благодаря преобразованию частоты [2], реже — путем применения широкополосных фазорасщепителей [3]. В первом случае фазовращатель работает на фиксированной частоте, но дополнительные погрешности, присущие частотному преобразователю, не позволяют реализовать паспортную точность фазовращателя. Кроме того, преобразование частоты не всегда удобно, например, в диапазоне звуковых частот.

Для построения диапазонных фазовращателей перспективно применение широкополосных фазосдвигающих цепей, представляющих собой два четырехполюсника, параметры которых удовлетворяют требованию: в пределах рабочего диапазона частот их фазовые характеристики $\psi_{1,2} = \psi(\omega)$ изменяются по логарифмическому закону, т. е.

$$\psi_1 = B_1 + \ln A_1 \omega; \quad \psi_2 = B_2 + \ln A_2 \omega,$$

где B, A — постоянные четырехполюсника. В таком случае фазовый

угол между выходными напряжениями четырехполюсников, составляющий

$$\psi = \psi_1 - \psi_2 = B_1 - B_2 + \ln \frac{A_1}{A_2} = \text{const},$$

не зависит от частоты, а модули выходных напряжений равны между собой, т. е. $|U_1| = |U_2|$. Эти четырехполюсники могут быть выполнены из LC или RC элементов [4]. Фазовые характеристики физически реализуемых четырехполюсников при работе в диапазоне частот отклоняются от требуемого логарифмического закона, в результате чего фазовый сдвиг получается лишь приблизительно равным расчетному. Погрешность фазового сдвига достигает нескольких градусов и зависит от частоты [5].

Неортогональность и неравенство амплитуд выходных напряжений широкополосного фазорасщепителя являются источниками погрешности и не позволяют построить достаточно точный широкополосный круговой фазовращатель. Погрешность фазорасщепителя можно уменьшить ценой сужения полосы рабочих частот и применением высокостабильных RLC элементов с точностью подгонки порядка долей процента, что, по-видимому, не является приемлемым методом. Точность измерения разности фаз можно значительно повысить, если применить широкополосные круговые фазовращатели в режиме непрерывного вращения ротора (рис. 1). Два четырехквadrантных емкостных фазовращателя

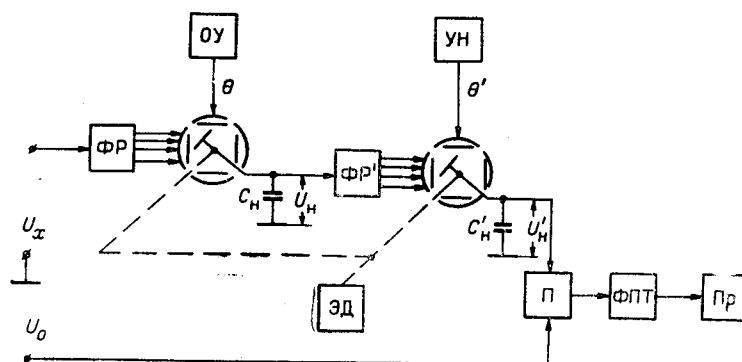


Рис. 1.

$C_1 C_2 C_3 C_4$ и $C'_1 C'_2 C'_3 C'_4$, питаемых широкополосными фазорасщепителями ФР и ФР', нагружены на емкостные сопротивления X_{C_n} и $X'_{C'_n}$. Роторы фазовращателей закрепляются на общем валу и приводятся в непрерывное вращение электродвигателем ЭД с угловой скоростью Ω . Статорные системы фазовращателей $C_1 - C_4$ и $C'_1 - C'_4$ могут поворачиваться относительно вращающихся роторов на любой угол в пределах $0 - 360^\circ$ с помощью верньерных устройств. Угол поворота одного из фазовращателей может быть точно определен по отсчетной шкале ОУ, а второго — по шкале УН. Опорные и выходные напряжения фазовращателя $C'_1 - C'_4$ подаются на множительный элемент П с фильтром постоянного тока ФПТ. На выходе фильтра включен указатель нуля Пр. Если на входы фазометрического устройства поступают измеряемое $U_x = U \sin(\omega t + \varphi)$ и опорное $U_o = U \sin \omega t$ напряжения, то напряжение U_x подается на умножитель через широкополосные фазорасщепители и фазовращатели, а U_o — непосредственно на умножитель. Фазорасщепи-

тель содержит цепочку, образующую на выходе ортогональные и равные по амплитуде напряжения, каждое из которых затем расщепляется на два равных противофазных напряжения дифференциальным трансформатором. Для простоты примем, что модуль коэффициента передачи фазорасщепителя равен единице, а его фазовый угол равен нулю. Тогда, учитывая, что широкополосные дифференциальные трансформаторы вносят пренебрежимо малые амплитудные и фазовые погрешности, систему напряжений, питающих фазовращатель $C_1—C_4$, можно записать:

$$U_1 = U \sin(\omega t + \varphi); U_3 = -U \sin(\omega t + \varphi);$$

$$U_2 = (1 + \delta) U \cos(\omega t + \varphi + \Delta), U_4 = -1(1 + \delta) U \cos(\omega t + \varphi + \Delta), \quad (1)$$

где δ — относительное неравенство амплитуд фазорасщепителя; Δ — отклонение от квадратуры.

Известно [2], что принцип работы четырехквadrантного фазовращателя предполагает синусоидальное изменение емкостей его секций от угла поворота ротора (рис. 2). Так как роторы фазовращателей равномерно вращаются со скоростью Ω , выражения для емкостей имеют вид:

$$C_1 = C_0 [1 + m \sin(\Omega t + \Theta)];$$

$$C_2 = C_0 \left[1 + m \sin \left(\Omega t + \Theta + \frac{\pi}{2} \right) \right];$$

$$C_3 = C_0 [1 + m \sin(\Omega t + \Theta + \pi)];$$

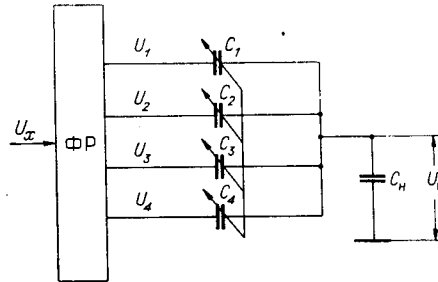


Рис. 2.

$$C_4 = C_0 \left[1 + m \sin \left(\Omega t + \Theta + \frac{3\pi}{2} \right) \right], \quad (2)$$

где C_0 — постоянная составляющая емкости квадранта; C — переменная составляющая емкости, причем $\frac{C}{C_0} = m < 1$; Θ — начальный угол между ротором и статорной системой. Из эквивалентной схемы неподвижного фазовращателя (см. рис. 2) следует, что ток в нагрузке равен [2]

$$I_n = \frac{U_n}{X_{c_n}} = \omega [(U_1 - U_n) C_1 + (U_2 - U_n) C_2 + (U_3 - U_n) C_3 + (U_4 - U_n) C_4]. \quad (3)$$

На основании метода медленно изменяющихся амплитуд преобразуем выражение (3) с учетом значений параметров (1) и (2). После тригонометрических преобразований получим

$$\frac{I_n}{\omega C_0} + 4U_n = \frac{U_m}{\omega C_0} = \cos[(\omega - \Omega)t + \varphi - \Theta] - \cos[(\omega + \Omega)t + \varphi + \Theta] +$$

$$+ \cos[(\omega + \Omega)t + \varphi + \Theta] \cos \Delta - \sin[(\omega + \Omega)t + \varphi + \Theta] \sin \Delta +$$

$$+ \cos[(\omega - \Omega)t + \varphi - \Theta] \cos \Theta - \sin[(\omega - \Omega)t + \varphi - \Theta] \sin \Delta +$$

$$+ \delta \cos[(\omega + \Omega)t + \varphi + \Theta] \cos \Delta - \delta \sin[(\omega + \Omega)t + \varphi + \Theta] \sin \Delta +$$

$$+ \delta \cos[(\omega - \Omega)t + \varphi - \Theta] \cos \Delta - \delta \sin[(\omega - \Omega)t + \varphi - \Theta] \sin \Delta. \quad (4)$$

Так как величины Δ и δ малы, то выражение (4) можно привести к виду

$$\frac{\frac{I_H}{\omega C_0} + 4U_H}{Um} \cong (2 + \delta) \cos [(\omega - \Omega) t + \varphi - \Theta] + \delta \cos [(\omega + \Omega) t + \varphi + \Theta] - \Delta \sin [(\omega + \Omega) t + \varphi + \Theta] - \Delta \sin [(\omega - \Omega) t + \varphi - \Theta]. \quad (5)$$

Складывая векторы с одинаковыми частотами и пренебрегая величинами второго порядка малости, найдем

$$\frac{\frac{I_H}{\omega C_0} + 4U_H}{Um} = 2 \cos \left[(\omega - \Omega) t + \varphi - \Theta + \frac{\Delta}{2} \right] - \sqrt{\delta^2 + \Delta^2} \sin \left[(\omega + \Omega) t + \varphi + \Theta - \arctg \frac{\delta}{\Delta} \right]. \quad (6)$$

Заменяя I_H через $\frac{U_H}{X_{c_H}}$ и решая уравнение (6) относительно U_H , получим:

$$U_H = \frac{Um C_0}{\frac{1}{X_{c_H \omega}} + 4C_0} \left\{ 2 \cos \left[(\omega - \Omega) t + \varphi - \Theta + \frac{\Delta}{2} \right] - \sqrt{\delta^2 + \Delta^2} \sin \left[(\omega + \Omega) t + \varphi + \Theta - \arctg \frac{\delta}{\Delta} \right] \right\}. \quad (7)$$

Из (7) следует, что непрерывно вращающийся со скоростью Ω фазовращатель, питаемый системой напряжений с фазовыми и амплитудными погрешностями, образует на нагрузке сложное напряжение. Спектр этого напряжения содержит два компонента. По частотному признаку, по отношению к частоте питающего напряжения ω их можно считать соответственно нижней и верхней боковой. Второе слагаемое напряжения в фигурных скобках уравнения (7) обязано своим появлением наличию фазовых и амплитудных погрешностей (Δ и δ), назовем это напряжение зеркальным, а другое — основным. Обозначив сомножитель $\frac{m C_0}{C_H + 4C_0}$ через K и сомножитель $\sqrt{\Delta^2 + \delta^2}$ через A , представим оба напряжения в показательной форме:

$$\dot{U}_{осн} = 2e^{-j\left(-\Theta + \frac{\Delta}{2} + \varphi + \frac{\pi}{2}\right)} e^{j(\omega - \Omega)t}; \quad (8)$$

$$\dot{U}_{зерк} = -A e^{j\left(\Theta - \arctg \frac{\delta}{\Delta} + \varphi\right)} e^{j(\omega + \Omega)t}. \quad (9)$$

Таким образом, вращающийся фазовращатель можно представить как многополюсник с коэффициентами передач:

$$\dot{K}_{осн} = 2K e^{-j\left(-\Omega t - \Theta + \frac{\Delta}{2} + \frac{\pi}{2}\right)}; \quad (10)$$

$$\dot{K}_{зерк} = -AK e^{j\left(\Omega t + \Theta - \arctg \frac{\delta}{\Delta}\right)}. \quad (11)$$

фазовращателей изменяются по одному закону (2). Нетрудно показать, что в таком случае направление вращения электрического поля в фазовращателе меняется на обратное, причем соответственно изменяется знак смещения частот основной и зеркальной составляющих.

Введем обозначение со штрихом для одноименных параметров фазовращателя $C_1—C_4$ и фазовращателя $C'_1—C'_4$. Прделав аналогичные выкладки для фазовращателя $C'_1—C'_4$, получим выражение коэффициентов передачи по основной и зеркальной составляющим:

$$\dot{K}'_{\text{осн}} = 2K' e^{j\left(\omega t + \theta + \frac{\Delta'}{2} - \frac{\pi}{2}\right)}; \quad (12)$$

$$\dot{K}'_{\text{зерк}} = -A' K' e^{-j\left(-\omega t - \theta - \arctg \frac{\delta'}{\Delta'}\right)}. \quad (13)$$

Каждая составляющая напряжения U_n после прохождения через фазовращатель $C_1—C_4$ дает основной и зеркальный компоненты. На основании (8), (9), (12) и (13) запишем выражения для всех четырех составляющих напряжения U_n :

$$(\dot{U}_{\text{осн}})_{\text{осн}} = 4UKK' e^{j\left(\varphi - \theta + \theta' + \frac{\Delta}{2} + \frac{\Delta'}{2}\right)} e^{j\omega t}; \quad (14)$$

$$(\dot{U}_{\text{осн}})_{\text{зерк}} = 2UKK' A' e^{j\left(\varphi - \theta - \theta' + \frac{\Delta}{2} - \arctg \frac{\delta'}{\Delta'} + \frac{\pi}{2}\right)} e^{j(\omega - 2\Omega)t}; \quad (15)$$

$$(\dot{U}_{\text{зерк}})_{\text{осн}} = 2UKK' A e^{j\left(\varphi + \theta + \theta' - \arctg \frac{\delta}{\Delta} + \frac{\Delta'}{2} - \frac{\pi}{2}\right)} e^{j(\omega + 2\Omega)t}; \quad (16)$$

$$(\dot{U}_{\text{зерк}})_{\text{зерк}} = UKK' A A' e^{j\left(\varphi + \theta - \theta' - \arctg \frac{\delta}{\Delta} - \arctg \frac{\delta'}{\Delta'}\right)} e^{j\omega t}. \quad (17)$$

Присутствие компонентов (15) и (16) не оказывает влияния на величину постоянной составляющей выходного тока множительного элемента П, так как в опорном напряжении U_0 не содержатся гармонические составляющие с частотами вида $\omega \pm 2\Omega$.

Считая элемент П идеальным множителем и принимая во внимание лишь компоненты (14) и (15), определим величину выходного напряжения множительного элемента ($\Delta = \Delta'$; $\delta = \delta'$; $K = K'$; $A = A'$):

$$\begin{aligned} U_{\text{вых. мп}} = & \left[4UK^2 \sin(\omega t + \theta' - \theta + \varphi + \Delta) + UA^2 K^2 \sin \times \right. \\ & \left. \times \left(\omega t + \theta - \theta' - 2 \arctg \frac{\delta}{\Delta} + \varphi \right) \right] U_0 \sin \omega t = -2UU_0 K^2 \times \\ & \times [\cos(2\omega t + \theta' - \theta + \Delta + \varphi) + \cos(\theta - \theta' - \varphi - \Delta)] - \frac{A^2 UU_0 K^2}{2} \times \\ & \times \left[\cos\left(2\omega t + \theta - \theta' - 2 \arctg \frac{\delta}{\Delta} + \varphi\right) + \cos\left(\theta' - \theta + 2 \arctg \frac{\delta}{\Delta} - \varphi\right) \right]. \end{aligned} \quad (18)$$

Высокочастотные составляющие напряжения $U_{\text{вых. мн}}$ отфильтровываются фильтром постоянного тока ФПТ. Напряжение на выходе фильтра (коэффициент передачи фильтра примем равным единице) составляет

$$U_{\phi} = \frac{U U_0 K^2}{2} \left[4 \cos (\Theta - \Theta' - \varphi - \Delta) + (\delta^2 + \Delta^2) \cos \times \right. \\ \left. \times \left(\Theta' - \Theta + 2 \operatorname{arctg} \frac{\delta}{\Delta} - \varphi \right) \right]. \quad (19)$$

Из (19) нетрудно видеть, что второе слагаемое в квадратных скобках, обязанное своим появлением фазовым и амплитудным погрешностям фазорасщепителя, определяет величину погрешности измерения вращающимися фазовращателями. Определим погрешность измерения, приняв ее величину как разность между измеряемым углом φ и показанием шкалы ОУ фазовращателя C_1-C_4 .

Рассмотрим процесс измерения, состоящий из двух операций: а) установки нуля; б) отсчета измеряемого угла.

Установка нуля. Поворотом статора фазовращателя C_1-C_4 на угол Θ' устанавливается фазовый баланс в системе. При этом имеем: $\varphi=0$; $\Theta=0$; $U_{\phi}=0$;

$$U_{\phi} = 4 \cos (-\Theta' - \Delta) + A^2 \cos \left(\Theta' + 2 \operatorname{arctg} \frac{\delta}{\Delta} \right) = 0. \quad (20)$$

Так как $A^2 \ll 1$, Δ — очень малый угол, то угол Θ' отличается от $\frac{\pi}{2}$ на малую величину и выражение (20) примет вид

$$U_{\phi} = 4 \sin \left(\frac{\pi}{2} + \Theta' + \Delta \right) + A^2 \cos \Theta' \sin \left(2 \operatorname{arctg} \frac{\delta}{\Delta} \right) + A^2 \sin \Theta' \cos \times \\ \times \left(2 \operatorname{arctg} \frac{\delta}{\Delta} \right) = 4 \frac{\pi}{2} + 4\Theta' + 4\Delta + A^2 \cos \left(2 \operatorname{arctg} \frac{\delta}{\Delta} \right) + \\ + A^2 \cos \Theta' \sin \left(2 \operatorname{arctg} \frac{\delta}{\Delta} \right). \quad (21)$$

Составляющей $A^2 \cos \Theta' \sin \left(2 \operatorname{arctg} \frac{\delta}{\Delta} \right)$ в (21) можно пренебречь как малой величиной третьего порядка. Полагая $\sin \Theta' \cong 1$, получим значение установочного угла:

$$\Theta' = \frac{-A^2 \cos 2 \operatorname{arctg} \frac{\delta}{\Delta}}{4} - \Delta - \frac{\pi}{2}. \quad (22)$$

Отсчет измеряемого угла. При измерении фазового сдвига вновь добиваются нулевого показания. При повороте статора фазовращателя C_1-C_4 . По аналогии с (21) запишем

$$U_{\phi} = 4 \frac{\pi}{2} - 4\Theta + 4\varphi + 4\Theta' + 4\Delta + A^2 \cos \left(2 \operatorname{arctg} \frac{\delta}{\Delta} - \Theta - \varphi \right) = 0 \quad (23)$$

или, учитывая значение установочного угла (22) и принимая во внимание, что $\Theta \approx \varphi$, получим

$$U_{\varphi} = 4 \frac{\pi}{2} + 4(\varphi - \Theta) - 4 \frac{\pi}{2} - A^2 \cos \left(2 \operatorname{arctg} \frac{\delta}{\Delta} \right) + \\ + A^2 \cos 2 \left(\operatorname{arctg} \frac{\delta}{\Delta} - \varphi \right) = 0. \quad (24)$$

Из формулы (24) определим зависимость Θ от φ и абсолютную погрешность измерения ($\Delta\varphi = \Theta - \varphi$):

$$\Theta = \varphi + \frac{A^2}{4} \left[\cos 2 \left(\operatorname{arctg} \frac{\delta}{\Delta} - \varphi \right) - \cos \left(2 \operatorname{arctg} \frac{\delta}{\Delta} \right) \right]. \quad (25)$$

Угловая погрешность $\Delta\varphi$ из (25) равна

$$\Delta\varphi = \frac{A^2}{4} \left[\cos 2 \left(\operatorname{arctg} \frac{\delta}{\Delta} - \varphi \right) - \cos \left(2 \operatorname{arctg} \frac{\delta}{\Delta} \right) \right]. \quad (26)$$

Как видно из (26), максимально возможная погрешность измерения угла φ достигает

$$\Delta\varphi_{\max} \leq \frac{A^2}{2}.$$

При неподвижных роторах максимально возможную погрешность можно определить из выражений (8) и (9), полагая $\Omega = 0$. Максимальная погрешность будет иметь место при ортогональности векторов, полученных из выражений (8) и (9):

$$\Delta\varphi'_{\max} = \operatorname{arctg} \frac{\sqrt{\Delta^2 + \delta^2}}{2} \cong \frac{A}{2}.$$

Выигрыш N по точности при переходе от измерения с неподвижными роторами к измерению с непрерывно вращающимися роторами составит

$$N = \frac{1}{A}.$$

Например, при $\delta = 1\%$ и $\Delta = 1^\circ$

$$\Delta\varphi'_{\max} \cong 0,01^\circ; \quad \Delta\varphi_{\max} = 0,57^\circ; \quad N = 50.$$

Таким образом, с помощью вращающихся фазовращателей можно значительно повысить точность измерения фазовых углов, используя существующие широкополосные фазорасщепители.

ЛИТЕРАТУРА

1. В. П. Скуридин. Компенсационные методы измерения разности фаз синусоидальных сигналов.—Труды конференции по автоматическому контролю и методам электрических измерений. Новосибирск, Изд-во СО АН СССР, 1961.
2. И. М. Вишенчук, А. Ф. Котюк, Л. Я. Мизюк. Электрические и электронные фазометры. М., Госэнергоиздат, 1962.
3. С. А. Красик. Комплект приборов для измерения больших значений отношений комплексных напряжений на частотах от 10 до 1000 кГц.—Труды конференции по автоматическому контролю и методам электрических измерений. Новосибирск, Изд-во СО АН СССР, 1961.
4. Б. Б. Штейн, Н. А. Черняк. Однополосная модуляция с помощью фазовых схем. М., Связьиздат, 1959.
5. М. В. Верзунов, И. В. Лобанов, А. М. Семенов. Однополосная модуляция. М., Связьиздат, 1962.

Поступила в редакцию
14 октября 1966 г.